

Kryptologie

Johannes Köbler



Institut für Informatik
Humboldt-Universität zu Berlin

WS 2022/23

Anmeldung

- über Agnes
- und bei Moodle (wegen Punktevergabe und Bildung von Abgabegruppen)
- Mails von Agnes und von Moodle werden standardmäßig an den HU-Account gesendet (bitte regelmäßig checken oder weiterleiten)

Aktuelle Infos auf der VL-Webseite unter

- <https://hu.berlin/vlkrypto> bzw.
- <https://www.informatik.hu-berlin.de/de/forschung/gebiete/algorithmenII/Lehre/ws22/krypto>

Skript, Folien und Aufgabenblätter

- Skript und Folien werden wöchentlich ins Netz gestellt
- Übungsblätter werden in der Regel dienstags auf der VL-Seite veröffentlicht
- Die Besprechung der mündlichen Aufgaben erfolgt am Donnerstag der Folgewoche
- Lösungen dazu können bis zum Tag davor digital in Moodle hochgeladen werden, Details siehe dort
- Die schriftlichen Aufgaben sind bis Dienstag zwei Wochen nach Ausgabe um 23:59 Uhr abzugeben
- Fragen zu Übung und Vorlesung können auch im Moodle-Forum gestellt und diskutiert werden

- in Gruppen von bis zu drei Teilnehmern
- Lösungen für die schriftlichen Aufgaben sollten als PDF abgegeben werden
- die Abgabe von Lösungsvorschlägen für die mündlichen Aufgaben ist freiwillig und geht nicht in die Punktwertung ein
- besonders gut gelungene Lösungen werden mit Zustimmung der Abgebenden im Forum veröffentlicht

Scheinkriterien

- Lösen von mindestens 50% der schriftlichen Aufgaben

Prüfungsform

- mündlich (in den Prüfungszeiträumen des Wintersemesters)
- Der Übungsschein ist **nicht** Voraussetzung für die Zulassung zur Prüfung

Gibt es zum organisatorischen Ablauf noch Fragen?

Lernziele

- Kryptografische Verfahren schaffen Vertrauen in ungeschützten Umgebungen
- Sie ermöglichen sichere Kommunikation über unsichere Kanäle und können verhindern, dass sich ein Kommunikationspartner unfair verhält
- In unsicheren Umgebungen wie dem Internet können sie die aus direkter Interaktion gewohnte Sicherheit herstellen
- Und auch die Interaktion in sicheren Umgebungen wird um Möglichkeiten erweitert, die ohne Kryptografie nicht denkbar wären
- Im Bachelormodul **Einführung in die Kryptologie** haben wir uns mit den mathematischen Grundlagen von kryptografischen Verfahren beschäftigt, wobei (symmetrische und asymmetrische) Verschlüsselungsverfahren im Vordergrund standen
- Im aktuellen Mastermodul **Kryptologie** werden wir dagegen kryptografische Verfahren und Protokolle für andere Schutzziele betrachten wie z.B. Hashverfahren und digitale Signaturen sowie Pseudozufallsgeneratoren

- Kryptosysteme (Verschlüsselungsverfahren) dienen der Geheimhaltung von Nachrichten bzw. Daten
- Hierzu gibt es auch andere Methoden wie z.B.
 - Physikalische Maßnahmen: Tresor etc.
 - Organisatorische Maßnahmen: einsamer Waldspaziergang etc.
 - Steganografische Maßnahmen: unsichtbare Tinte etc.

Überblick weiterer Schutzziele

Andererseits können durch kryptografische Verfahren weitere **Schutzziele** realisiert werden wie z.B.

- **Vertraulichkeit**
 - Geheimhaltung
 - Anonymität (z.B. Mobiltelefon)
 - Unbeobachtbarkeit (von Transaktionen)
- **Integrität**
 - von Nachrichten und Daten
- **Zurechenbarkeit**
 - Authentikation
 - Unabstreitbarkeit
 - Identifizierung
- **Verfügbarkeit**
 - von Daten
 - von Rechenressourcen
 - von Informationsdienstleistungen

In das Umfeld der Kryptologie fallen die folgenden Begriffe

- **Kryptografie:**
Lehre von der Geheimhaltung von Informationen durch Verschlüsselung
Im weiteren Sinne: Wissenschaft von der Übermittlung, Speicherung und Verarbeitung von Daten in einer von potentiellen Gegnern bedrohten Umgebung
- **Kryptoanalysis:**
Erforschung der Methoden eines unbefugten Angriffs gegen ein Kryptoverfahren
Zweck: Vereitelung der mit seinem Einsatz verfolgten Ziele
- **Kryptoanalyse:**
Analyse eines Kryptoverfahrens zum Zweck der Bewertung seiner kryptografischen Stärken und Schwächen
- **Kryptologie:**
Wissenschaft vom Entwurf, der Anwendung und der Analyse von kryptografischen Verfahren (umfasst Kryptografie und Kryptoanalyse)

- sind ein wirksames Werkzeug zur Sicherstellung der Integrität von Nachrichten oder generell von digitalisierten Daten
- Sie nehmen somit beim Schutz der Datenintegrität eine ähnlich herausragende Stellung ein wie sie Kryptosystemen bei der Wahrung der Vertraulichkeit zukommt
- Daneben finden kryptografische Hashfunktionen aber auch vielfach als Bausteine von komplexeren Systemen Verwendung
- Wie wir noch sehen werden, sind kryptografische Hashfunktionen etwa bei der Erstellung von digitalen Signaturen sehr nützlich
- Auf weitere Anwendungsmöglichkeiten werden wir später eingehen

- Idee: Eine kryptografische Hashfunktion h soll zu einem vorgegebenen Text x eine zwar kompakte aber dennoch repräsentative Beschreibung $h(x)$ liefern, die unter praktischen Gesichtspunkten zur eindeutigen Identifikation von x benutzt werden kann
- Die Funktion h muss also „charakteristische Merkmale“ von x in den Hashwert $h(x)$ einfließen lassen
- Da der Fingerabdruck auch diese Eigenschaften besitzt, wird $h(x)$ oft als **digitaler Fingerabdruck** von x bezeichnet
- Gebräuchlich sind auch die Bezeichnungen **kryptografische Prüfsumme** oder **message digest** (engl. für „Nachrichtenextrakt“)

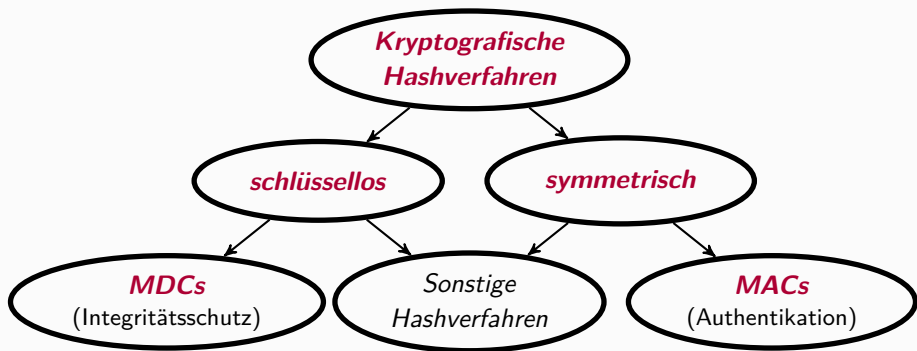
Typische Schutzziele, die sich mittels Hashfunktionen realisieren lassen:

Nachrichtenauthentikation (message authentication)

- Wie lässt sich sicherstellen, dass eine Nachricht (oder eine Datei) während einer (räumlichen oder auch zeitlichen) Übertragung nicht verändert wurde?
- Wie lässt sich der Urheber (oder Absender) einer Nachricht zweifelsfrei feststellen?

Teilnehmerauthentikation (entity authentication, identification)

- Wie kann sich eine Person (oder ein Gerät) anderen gegenüber zweifelsfrei ausweisen?

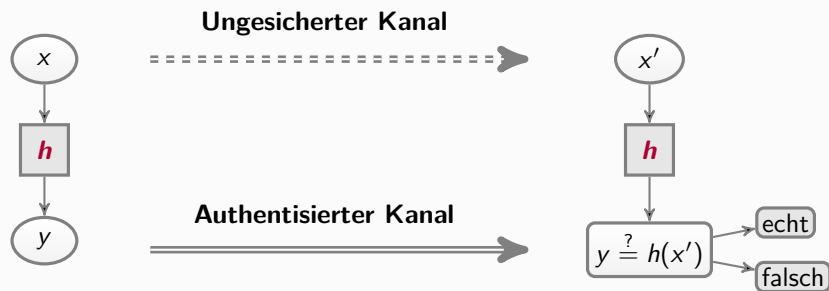


Kryptografische Hashverfahren lassen sich grob danach klassifizieren, ob der Hashwert lediglich in Abhängigkeit vom Eingabetext berechnet wird oder zusätzlich von einem symmetrischen Schlüssel abhängt

- Kryptografische Hashfunktionen, bei deren Berechnung keine Schlüssel benutzt werden, dienen vornehmlich der Erkennung von unbefugt vorgenommenen Manipulationen an Dateien oder Nachrichten
- Daher werden sie auch als **MDC** (*M*anipulation *D*etection *C*ode) bezeichnet
- Zuweilen wird das Kürzel **MDC** auch als eine Abkürzung für *M*odification *D*etection *C*ode verwendet
- Seltener ist dagegen die Bezeichnung **MIC** (*m*essage *i*ntegrity *c*odes)

Manipulation Detection Codes

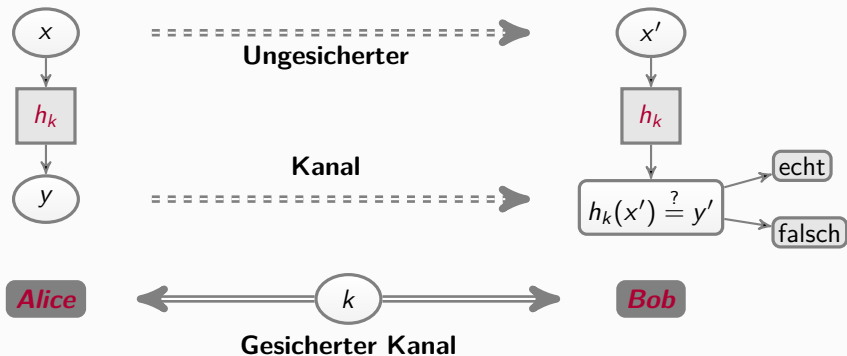
Um die Integrität eines Datensatzes x sicherzustellen, der über einen ungesicherten Kanal gesendet (bzw. auf einem vor Manipulationen nicht sicheren Webserver abgelegt) wird, kann man wie folgt verfahren:



- Der **MDC**-Hashwert $y = h(x)$ von x wird auf einem authentisierten Kanal übertragen
- Nach der Übertragung wird geprüft, ob der Datensatz noch den Hashwert y liefert

- Kryptografische Hashverfahren mit symmetrischen Schlüsseln finden hauptsächlich bei der Authentifizierung von Nachrichten Verwendung
- Diese werden daher auch als **MAC** (*message authentication code*) oder als **Authentikationscode** bezeichnet
- Daneben gibt es auch Hashverfahren mit asymmetrischen Schlüsseln
- Diese werden jedoch der Rubrik der Signaturverfahren zugeordnet, da mit ihnen ausschließlich digitale Signaturen gebildet werden

- Mit einem MAC lassen sich Nachrichten wie folgt authentisieren:



- Alice fügt der Nachricht x den Hashwert $y = h_k(x)$ hinzu und sendet beides über den unsicheren Kanal an Bob
- Bob überprüft die Echtheit einer Nachricht (x', y') , indem er den zu x' gehörigen Hashwert $h_k(x')$ berechnet und mit y' vergleicht

- Der geheime Authentifikationsschlüssel k muss hierbei genau wie bei einem symmetrischen Kryptosystem über einen gesicherten Kanal vereinbart werden
- Indem Alice ihre Nachricht x um den Hashwert $y = h_k(x)$ ergänzt, hat Bob nicht nur die Möglichkeit, anhand von y die empfangene Nachricht x' auf Manipulationen, sondern auch ihre Herkunft zu überprüfen

- Wir betrachten nun verschiedene Sicherheitsanforderungen an MDCs h
- Dabei nehmen wir an, dass $h: X \rightarrow Y$ öffentlich bekannt ist
- Ein Paar $(x, y) \in X \times Y$ heißt **gültig** für h , falls $h(x) = y$ ist
- Ein Paar (x, x') mit $x \neq x'$ und $h(x) = h(x')$ heißt **Kollisionspaar** für h
- Die Anzahl $|Y|$ der Hashwerte bezeichnen wir mit m
- Ist auch der Textraum X endlich, $|X| = n$, so heißt h eine **(n, m) -Hashfunktion**
- In diesem Fall verlangen wir meist, dass $n \geq 2m$ ist, und wir nennen h dann eine **Kompressionsfunktion** (compression function)

- Da h öffentlich bekannt ist, ist es sehr einfach, für einen vorgegebenen Text x ein gültiges Paar (x, y) zu erzeugen
- Für bestimmte kryptografische Anwendungen ist es wichtig, dass dies bei vorgegebenem Hashwert y dagegen nicht möglich ist

Problem P1 (Bestimmung eines Urbilds)

Gegeben: Eine Hashfunktion $h: X \rightarrow Y$ und ein Hashwert $y \in Y$

Gesucht: Ein Text $x \in X$ mit $h(x) = y$

- Falls es einen immensen Aufwand erfordert, bei gegebenem Hashwert y einen Text x mit $h(x) = y$ zu finden, so heißt h **Einweg-Hashfunktion** (*one-way hash function bzw. preimage resistant hash function*)
- Diese Eigenschaft wird beispielsweise benötigt, wenn die Hashwerte der Benutzerpasswörter in einer öffentlich zugänglichen Datei abgespeichert werden, wie es bei manchen Unix-Systemen der Fall ist

- Für andere Anwendungen ist es dagegen wichtig, dass es für einen gegebenen Text x praktisch unmöglich ist, einen weiteren Text $x' \neq x$ mit dem gleichen Hashwert $h(x') = h(x)$ zu finden

Problem P2 (Bestimmung eines zweiten Urbilds)

Gegeben: Eine Hashfunktion $h: X \rightarrow Y$ und ein Text $x \in X$

Gesucht: Ein Text $x' \in X \setminus \{x\}$ mit $h(x') = h(x)$

- Falls Problem P2 einen immensen Aufwand erfordert, heißt h **schwach kollisionsresistent** (*weakly collision resistant bzw. second preimage resistant*)
- Diese Eigenschaft wird beim Integritätsschutz durch einen MDC benötigt

- Für bestimmte Anwendungen ist es sogar nötig, dass sich überhaupt kein Kollisionspaar finden lässt
- Diese Eigenschaft ist bspw. beim Einsatz von MDCs bei der Erstellung von digitalen Signaturen erforderlich

Problem P3 (Bestimmung einer Kollision)

Gegeben: Eine Hashfunktion $h: X \rightarrow Y$

Gesucht: Zwei Texte $x \neq x' \in X$ mit $h(x') = h(x)$

- Falls Problem P3 einen immensen Aufwand erfordert, heißt h (**stark**) **kollisionsresistent** (*collision resistant*)

- Obwohl die schwache Kollisionsresistenz eine gewisse Ähnlichkeit mit der Einweg-Eigenschaft aufweist, sind diese beiden Eigenschaften im allgemeinen unvergleichbar:
 - Eine schwach kollisionsresistente Funktion muss nicht notwendigerweise eine Einwegfunktion sein, da die Bestimmung eines Urbildes gerade für diejenigen Funktionswerte einfach sein kann, die nur ein einziges Urbild besitzen
 - Umgekehrt impliziert die Einweg-Eigenschaft auch nicht die schwache Kollisionsresistenz, da die Kenntnis eines Urbildes das Auffinden weiterer Urbilder sehr stark erleichtern kann

Vergleich von Sicherheitsanforderungen

- Wir zeigen nun, dass stark kollisionsresistente Hashfunktionen sowohl schwach kollisionsresistent als auch Einweghashfunktionen sind
- Hierzu reduzieren wir das Kollisionsproblem P3 auf das Problem P1, ein Urbild zu bestimmen, bzw. auf das Problem P2, ein zweites Urbild zu bestimmen
- Für die Reduktion von P3 auf P1 müssen wir zusätzlich voraussetzen, dass h eine Kompressionsfunktion ist

Satz

Jede stark kollisionsresistente (n, m) -Hashfunktion $h: X \rightarrow Y$ ist auch schwach kollisionsresistent

Satz

Jede stark kollisionsresistente (n, m) -Kompressionsfunktion $h: X \rightarrow Y$ ist auch eine Einweg-Hashfunktion

Vergleich von Sicherheitsanforderungen

Satz

Jede stark kollisionsresistente (n, m) -Hashfunktion $h: X \rightarrow Y$ ist auch schwach kollisionsresistent

Beweis.

- Falls h nicht schwach kollisionsresistent ist, ist das Problem P2, ein zweites Urbild zu bestimmen, nicht schwer
- Indem wir das Problem P3, ein Kollisionspaar für h zu finden, auf P2 reduzieren, folgt dann, dass auch P3 nicht schwer ist und somit h nicht stark kollisionsresistent sein kann
- Sei A ein Las-Vegas Algorithmus, der für ein zufällig gewähltes $x \in_R X$ mit Wahrscheinlichkeit ε ein zweites Urbild x' von $h(x)$ findet
- Dann findet folgender Algorithmus mit Wk ε ein Kollisionspaar für h :

 - 1 wähle zufällig $x \in_R X$
 - 2 $x' := A(x)$
 - 3 **if** $h(x') = h(x) \wedge x' \neq x$ **then output** (x, x')

Als nächstes reduzieren wir das Kollisionsproblem auf das Urbildproblem

Satz

Jede stark kollisionsresistente (n, m) -Kompressionsfunktion $h: X \rightarrow Y$ ist auch eine Einweg-Hashfunktion

Beweis.

- Für jedes $y \in h(X) = \{h(x) \mid x \in X\}$ sei $h^{-1}(y)$ die Urbildmenge $\{x \in X \mid h(x) = y\}$ von y
- Sei A ein Las Vegas Algorithmus, der für jedes $y \in h(X)$ mit Wahrscheinlichkeit ε ein Urbild x mit $h(x) = y$ findet

Beweis.

- Für jedes $y \in h(X) = \{h(x) \mid x \in X\}$ sei $h^{-1}(y)$ die Urbildmenge $\{x \in X \mid h(x) = y\}$ von y
- Sei A ein Las Vegas Algorithmus, der für jedes $y \in h(X)$ mit Wahrscheinlichkeit ε ein Urbild x mit $h(x) = y$ findet
- Betrachte folgenden Las-Vegas Algorithmus B :

 - 1 wähle zufällig $x \in X$
 - 2 $y := h(x)$; $x' := A(y)$
 - 3 **if** $x \neq x'$ **then return** (x, x') **else return** ?

- Sei $\mathcal{C} = \{h^{-1}(y) \mid y \in h(X)\}$ die Partition von X in die Urbildmengen
- Dann hat B eine Erfolgswahrscheinlichkeit von

$$\varepsilon \sum_{C \in \mathcal{C}} \frac{|C|}{|X|} \cdot \frac{|C| - 1}{|C|} = \frac{\varepsilon}{n} \sum_{C \in \mathcal{C}} (|C| - 1) = \varepsilon(n - m)/n \geq \frac{\varepsilon}{2}$$



Das Zufallsorakelmodell (ZOM)

- Das ZOM dient dazu, den Aufwand verschiedener Angriffe auf eine Hashfunktion $h: X \rightarrow Y$ nach oben abzuschätzen
- Sind X und Y vorgegeben, so können wir eine Hashfunktion $h: X \rightarrow Y$ dadurch „konstruieren“, dass wir für jedes $x \in X$ zufällig ein $y \in Y$ wählen und $h(x) = y$ setzen
- Äquivalent hierzu ist, für h eine zufällige Funktion aus der Klasse $F(X, Y)$ aller m^n Funktionen von X nach Y zu wählen
- Dieses Verfahren ist auf Grund des hohen Aufwands zwar nicht mehr praktikabel, wenn $n = |X|$ eine bestimmte Größe übersteigt
- Es liefert uns aber ein theoretisches Modell für eine Hashfunktion mit „idealen“ kryptografischen Eigenschaften
- Offensichtlich kann ein Angreifer nur dadurch Informationen über h erhalten, dass er für eine Reihe von Texten x_i die zugehörigen Hashwerte $h(x_i)$ berechnet (was der Befragung eines funktionalen Zufallsorakels entspricht)

Eine Zufallsfunktion h eignet sich deshalb gut als kryptografische Hashfunktion, weil der Hashwert $h(x)$ für einen Text x auch dann noch schwer vorhersagbar ist, wenn der Angreifer bereits die Hashwerte einer beliebigen Zahl von anderen Texten $x_i \neq x$ kennt

Proposition

- Sei $X_0 = \{x_1, \dots, x_k\}$ eine beliebige Menge von k verschiedenen Texten $x_i \in X$ und seien $y_1, \dots, y_k \in Y$
- Dann gilt für eine zufällig aus $F(X, Y)$ gewählte Funktion h und für jedes Paar $(x, y) \in (X - X_0) \times Y$,

$$\Pr[h(x) = y \mid h(x_i) = y_i \text{ für } i = 1, \dots, k] = 1/m$$

- Um eine obere Komplexitätsschranke für das Urbildproblem P1 im ZOM zu erhalten, betrachten wir folgenden Algorithmus:

Prozedur FindPreimage(h, y, q)

```
1 wähle eine beliebige Menge  $X_0 = \{x_1, \dots, x_q\} \subseteq X$ 
2 for each  $x_i \in X_0$  do
3   if  $h(x_i) = y$  then return( $x_i$ )
4 return ?
```

- Hierbei gibt der Parameter q die Anzahl der Hashwertberechnungen (also die Anzahl der gestellten Orakelfragen an das Zufallsorakel h) an
- Die Laufzeit des Algorithmus ist also proportional zu q

Satz

FINDPREIMAGE(h, y, q) gibt im ZOM mit Wahrscheinlichkeit $\varepsilon = 1 - (1 - 1/m)^q$ ein Urbild von y aus (unabhängig von der Wahl der Menge X_0)

Beweis.

- Sei $y \in Y$ fest und sei $X_0 = \{x_1, \dots, x_q\}$
- Für $i = 1, \dots, q$ bezeichne E_i das Ereignis " $h(x_i) = y$ "
- Nach obiger Proposition sind diese Ereignisse stochastisch unabhängig und ihre Wahrscheinlichkeit ist

$$\Pr[E_i] = 1/m \text{ für } i = 1, \dots, q$$

- Also folgt

$$\Pr[E_1 \cup \dots \cup E_q] = 1 - \Pr[\bar{E}_1 \cap \dots \cap \bar{E}_q] = 1 - (1 - 1/m)^q \quad \square$$

Das Zufallsorakelmodell (ZOM)

- Ist q verglichen mit m relativ klein, so ist bei diesem Angriff

$$\begin{aligned} \varepsilon &= 1 - (1 - 1/m)^q \\ &= 1 - (1 - q/m + \binom{q}{2}/m^2 - \binom{q}{3}/m^3 + \dots \pm 1/m^q) \\ &\approx q/m \end{aligned}$$

- Um also auf eine Erfolgswahrscheinlichkeit von $1/2$ zu kommen, ist $q \approx m/2$ zu wählen
- Folgender Algorithmus liefert uns eine ähnliche obere Schranke für die Komplexität von Problem P2, ein zweites Urbild für $h(x)$ zu bestimmen:

Prozedur FindSecondPreimage(h, x, q)

- $y := h(x)$
 - wähle eine beliebige Menge $X_0 = \{x_1, \dots, x_{q-1}\} \subseteq X - \{x\}$
 - for** each $x_i \in X_0$ **do**
 - if** $h(x_i) = y$ **then return**(x_i)
 - return** ?
-

Das Zufallsorakelmodell (ZOM)

Satz

$\text{FINDSECONDPREIMAGE}(h, x, q)$ gibt im ZOM mit Wahrscheinlichkeit $\varepsilon = 1 - (1 - 1/m)^{q-1}$ ein zweites Urbild $x_0 \neq x$ von $y = h(x)$ aus

- Der Beweis ist analog zum Beweis des vorherigen Satzes
- Auch hier ist $q \approx m/2$ zu wählen, um auf eine Erfolgswahrscheinlichkeit von $1/2$ zu kommen

Der Geburtstagsangriff

- Geht es lediglich darum, *irgendein* Kollisionspaar (x, x') aufzuspüren, so bietet sich ein sogenannter **Geburtstagsangriff** an
- Da hierfür deutlich weniger Hashwerte benötigt werden, lässt er sich entsprechend effizienter realisieren
- Dieser Angriff basiert auf dem sog. **Geburtstagsparadoxon**, welches in seiner einfachsten Form folgendes besagt

Geburtstagsparadoxon

Bereits in einer Klasse mit 23 Kindern ist die Wahrscheinlichkeit größer $1/2$, dass mindestens zwei Kinder am gleichen Tag Geburtstag haben

Der Geburtstagsangriff

- Der nächste Satz besagt, dass bei q -maligem Ziehen (mit Zurücklegen) aus einer Urne mit m Kugeln mit einer Wahrscheinlichkeit von

$$1 - (m-1)(m-2) \cdots (m-q+1)/m^{q-1}$$

mindestens eine Kugel mehrmals gezogen wird

- Für $m = 365$ und $q = 23$ ergibt dies einen Wert von ungefähr 0,507
- Da die Häufigkeiten der Geburtstage in einer Klasse nicht gleichverteilt sind, ist die Wahrscheinlichkeit, dass 2 Kinder am gleichen Tag Geburtstag haben, sogar noch etwas höher
- Zur Kollisionsbestimmung verwenden wir folgenden Algorithmus:

Prozedur Collision(h, q)

-
- wähle eine beliebige Menge $X_0 = \{x_1, \dots, x_q\} \subseteq X$
 - for** each $x_i \in X_0$ **do** $y_i := h(x_i)$
 - if** $\exists i \neq j : y_i = y_j$ **then return** (x_i, x_j) **else return** ?
-

Der Geburtstagsangriff

Prozedur Collision(h, q)

-
- 1 wähle eine beliebige Menge $X_0 = \{x_1, \dots, x_q\} \subseteq X$
 - 2 **for** each $x_i \in X_0$ **do** $y_i := h(x_i)$
 - 3 **if** $\exists i \neq j : y_i = y_j$ **then return** (x_i, x_j) **else return** ?
-

- Bei einer naiven Implementierung würde zwar der Zeitaufwand für die Auswertung der if-Bedingung quadratisch von q abhängen
- Trägt man aber jeden Text x unter dem Suchwort $h(x)$ in eine Hash-tabelle der Größe q ein, so wird der Zeitaufwand für jeden einzelnen Text x im wesentlichen durch die Berechnung von $h(x)$ bestimmt

Satz

COLLISION(h, q) gibt im ZOM mit Erfolgswahrscheinlichkeit

$$\varepsilon = 1 - \frac{(m-1)(m-2) \cdots (m-q+1)}{m^{q-1}}$$

ein Kollisionspaar (x, x') für h aus

Beweis.

- Sei $X_0 = \{x_1, \dots, x_q\}$ und für $i = 1, \dots, q$ bezeichne E_i das Ereignis $h(x_i) \notin \{h(x_1), \dots, h(x_{i-1})\}$
- Dann ist $E_1 \cap \dots \cap E_q$ das Ereignis "COLLISION(h, q) gibt ? aus"
- Für $i = 1, \dots, q$ gilt nun

$$\Pr[E_i | E_1 \cap \dots \cap E_{i-1}] = \frac{m - i + 1}{m}$$

- Dies führt auf die Erfolgswahrscheinlichkeit

$$\begin{aligned} \varepsilon &= 1 - \Pr[E_1 \cap \dots \cap E_q] \\ &= 1 - \Pr[E_1] \Pr[E_2 | E_1] \cdots \Pr[E_q | E_1 \cap \dots \cap E_{q-1}] \\ &= 1 - \left(\frac{m-1}{m}\right) \left(\frac{m-2}{m}\right) \cdots \left(\frac{m-q+1}{m}\right) \end{aligned}$$

Der Geburtstagsangriff

- Mit der Approximation $1 - x \approx e^{-x}$ erhalten wir folgende Abschätzung für ε :

$$\begin{aligned} \varepsilon &= 1 - \prod_{i=1}^{q-1} \left(1 - \frac{i}{m}\right) \\ &\approx 1 - \prod_{i=1}^{q-1} e^{-\frac{i}{m}} = 1 - e^{-\frac{1}{m} \sum_{i=1}^{q-1} i} = 1 - e^{-\frac{q(q-1)}{2m}} \\ &\approx 1 - e^{-\frac{q^2}{2m}} \approx q^2/2m \end{aligned}$$

- Für q erhalten wir daraus die Abschätzung

$$q \approx c_\varepsilon \sqrt{m}$$

mit einer von ε abhängigen Konstante $c_\varepsilon = \sqrt{2\varepsilon}$

- Diese Abschätzung ist nur für ε -Werte nahe Null hinreichend genau

Der Geburtstagsangriff

- Aus der Abschätzung $\varepsilon \approx 1 - e^{-\frac{q^2}{2m}}$ für ε (siehe vorige Folie) erhalten wir insbesondere für größere Werte von ε eine bessere Abschätzung:

$$e^{\frac{q^2}{2m}} \approx \frac{1}{1-\varepsilon} \quad \text{bzw.} \quad q \approx c'_\varepsilon \sqrt{m} \quad \text{mit} \quad c'_\varepsilon = \sqrt{2 \ln \frac{1}{1-\varepsilon}}$$

- Für $\varepsilon = 1/2$ ergibt sich somit $q \approx \sqrt{(2 \ln 2)m} \approx 1,17\sqrt{m}$
- Besitzt also eine binäre Hashfunktion $h: \{0, 1\}^n \rightarrow \{0, 1\}^m$ die Hashwertlänge $m = 128$ Bit, so müssen im ZOM $q \approx 1,17 \cdot 2^{64}$ Texte gehasht werden, um mit einer Wahrscheinlichkeit von $1/2$ eine Kollision zu finden
- Um einem Geburtstagsangriff widerstehen zu können, sollte eine Hashfunktion mindestens eine Hashwertlänge von 128 oder besser 160 Bit haben

Iterierte Hashfunktionen

- Im Folgenden beschäftigen wir uns mit der Frage, wie sich aus einer kollisionsresistenten Kompressionsfunktion

$$h: \{0, 1\}^{m+t} \rightarrow \{0, 1\}^m$$

eine kollisionsresistente Hashfunktion

$$\hat{h}: \{0, 1\}^* \rightarrow \{0, 1\}^l$$

konstruieren lässt

- Hierzu betrachten wir folgende kanonische Konstruktionsmethode, die auf Merkle und Damgaard zurückgeht

Iterierte Hashfunktionen

Preprocessing: Transformiere $x \in \{0, 1\}^*$ mittels einer Funktion

$$y: \{0, 1\}^* \rightarrow \bigcup_{r \geq 1} \{0, 1\}^{rt}$$

in einen String $y(x)$ mit der Eigenschaft $|y(x)| \equiv_t 0$

Processing: Sei $IV \in \{0, 1\}^m$ ein öffentlich bekannter

Initialisierungsvektor und sei $y(x) = y_1 \cdots y_r$ mit $|y_i| = t$ für $i = 1, \dots, r$.

Berechne eine Folge z_0, \dots, z_r von Strings $z_i \in \{0, 1\}^m$ wie folgt:

$$z_i = \begin{cases} IV, & i = 0, \\ h(z_{i-1}y_i), & i = 1, \dots, r \end{cases}$$

Optionale Ausgabetransformation: Berechne den Wert $\hat{h}(x) = g(z_r)$, wobei $g: \{0, 1\}^m \rightarrow \{0, 1\}^l$ eine öffentlich bekannte Funktion ist (meist wird für g die Identität verwendet)

Zur Berechnung von $\hat{h}(x)$ wird also die Funktion h genau r -mal aufgerufen

Iterierte Hashfunktionen

Wir formulieren nun eine für Preprocessing-Funktionen wünschenswerte Eigenschaft

Definition

- Eine Funktion $y: \{0, 1\}^* \rightarrow \{0, 1\}^*$ heißt **suffixfrei**, falls es keine Strings $x \neq \tilde{x}$ und z in $\{0, 1\}^*$ mit $y(\tilde{x}) = zy(x)$ gibt
- Mit anderen Worten: kein Funktionswert $y(x)$ ist Suffix eines Funktionswertes $y(\tilde{x})$ an einer Stelle $\tilde{x} \neq x$

Man beachte, dass jede suffixfreie Funktion insbesondere injektiv ist

Satz

Falls die Preprocessing-Funktion y suffixfrei und die Ausgabetransformation g injektiv ist, so ist mit h auch \hat{h} kollisionsresistent

Beweis.

- Wir nehmen an, dass es gelingt, ein Kollisionspaar (x, \tilde{x}) für \hat{h} zu finden (d.h. $\hat{h}(x) = \hat{h}(\tilde{x})$ und $x \neq \tilde{x}$)
- Seien $y(x) = y_1 \dots y_r$ und $y(\tilde{x}) = \tilde{y}_1 \dots \tilde{y}_s$ mit $r \leq s$
- Da y suffixfrei ist, muss ein Index $i \in \{1, \dots, r\}$ mit $y_i \neq \tilde{y}_{s-r+i}$ existieren
- Weiter seien z_i ($i = 0, \dots, r$) und \tilde{z}_j ($j = 0, \dots, s$) die in der Processing-Phase berechneten Hashwerte
- Da g injektiv ist, muss mit $g(z_r) = \hat{h}(x) = \hat{h}(\tilde{x}) = g(\tilde{z}_s)$ auch $z_r = \tilde{z}_s$ gelten

Iterierte Hashfunktionen

Beweis.

- Wir nehmen an, dass es gelingt, ein Kollisionspaar (x, \tilde{x}) für \hat{h} zu finden (d.h. $\hat{h}(x) = \hat{h}(\tilde{x})$ und $x \neq \tilde{x}$)
- Seien $y(x) = y_1 \dots y_r$ und $y(\tilde{x}) = \tilde{y}_1 \dots \tilde{y}_s$ mit $r \leq s$
- Da y suffixfrei ist, muss eine Zahl $i \in \{0, \dots, r-1\}$ mit $y_{r-i} \neq \tilde{y}_{s-i}$ existieren
- Weiter seien $z_j = h(z_{j-1}y_j)$ ($j = 1, \dots, r$) und $\tilde{z}_k = h(\tilde{z}_{k-1}\tilde{y}_k)$ ($k = 1, \dots, s$) die in der Processing-Phase berechneten Hashwerte
- Da g injektiv ist, muss mit $g(z_r) = \hat{h}(x) = \hat{h}(\tilde{x}) = g(\tilde{z}_s)$ auch $z_r = \tilde{z}_s$ gelten
- Sei i_0 die kleinste Zahl $i \in \{0, \dots, r-1\}$ mit $z_{r-i-1}y_{r-i} \neq \tilde{z}_{s-i-1}\tilde{y}_{s-i}$
- Dann bilden $z_{r-i_0-1}y_{r-i_0}$ und $\tilde{z}_{s-i_0-1}\tilde{y}_{s-i_0}$ wegen

$$h(z_{r-i_0-1}y_{r-i_0}) = z_{r-i_0} = \tilde{z}_{s-i_0} = h(\tilde{z}_{s-i_0-1}\tilde{y}_{s-i_0})$$

ein Kollisionspaar für h



- Merkle und Damgaard schlugen 1989 folgende konkrete Realisierung ihrer Konstruktion vor
- Als Initialisierungsvektor wird der Nullvektor $IV = 0^m$ benutzt, die optionale Ausgabetransformation entfällt, und für $y(x)$ wird im Fall $t \geq 2$ die folgende Funktion verwendet (den Fall $t = 1$ betrachten wir später)

- Für $x = \varepsilon$ sei $y(x) = 0^t$
- Für $x \in \{0, 1\}^n$ mit $n > 0$ sei $r = \lceil \frac{n}{t-1} \rceil$ und $x = x_1 x_2 \dots x_{r-1} x_r$ mit $|x_1| = |x_2| = \dots = |x_{r-1}| = t - 1$ sowie $|x_r| = t - 1 - d$, wobei $0 \leq d < t - 1$
- Im Fall $r = 1$ ist dann $y(x) = y_1 y_2$ mit $y_1 = 0x0^d$ und $y_2 = 1bin_{t-1}(d)$
- Und für $r > 1$ ist $y(x) = y_1 \dots y_{r+1}$, wobei

$$y_i = \begin{cases} 0x_1, & i = 1, \\ 1x_i, & 2 \leq i < r, \\ 1x_r 0^d, & i = r, \\ 1bin_{t-1}(d), & i = r + 1, \end{cases} \quad (1)$$

und $bin_{t-1}(d)$ die durch führende Nullen auf die Länge $t - 1$ aufgefüllte Binärdarstellung von d ist

Die Merkle-Damgaard-Konstruktion

Satz

Die durch (1) definierte Preprocessing-Funktion y ist suffixfrei

Beweis.

- Seien $x \neq \tilde{x}$ zwei Texte mit $|x| \leq |\tilde{x}|$
- Wir müssen zeigen, dass $y(x) = y_1 y_2 \dots y_{r+1}$ kein Suffix von $y(\tilde{x}) = \tilde{y}_1 \tilde{y}_2 \dots \tilde{y}_{s+1}$ ist
- Im Fall $x = \varepsilon$ ist dies klar
- Für $x \neq \varepsilon$ machen wir folgende Fallunterscheidung
 1. Fall: $|x| \not\equiv_{t-1} |\tilde{x}|$. Dann folgt $d \neq \tilde{d}$ und somit $y_{r+1} \neq \tilde{y}_{s+1}$
 2. Fall: $|x| = |\tilde{x}|$. In diesem Fall gilt $r = s$ und $|y(x)| = |y(\tilde{x})|$.
Wegen $x \neq \tilde{x}$ existiert ein Index $i \in \{1, \dots, r\}$ mit $x_i \neq \tilde{x}_i$.
Dies impliziert $y_i \neq \tilde{y}_i$, also ist $y(x)$ kein Suffix von $y(\tilde{x})$
 3. Fall: $|x| \neq |\tilde{x}|$ und $|x| \equiv_{t-1} |\tilde{x}|$. In diesem Fall ist $r < s$. Da $y(x)$ mit einer Null beginnt, aber das $(s - r + 1)$ -te Bit von $y(\tilde{x})$ eine Eins ist, kann $y(x)$ kein Suffix von $y(\tilde{x})$ sein

Nun betrachten wir den Fall $t = 1$

- Sei y die durch $y(x) := 11f(x)$ definierte Funktion, wobei f wie folgt definiert ist:

$$f(x_1 \dots x_n) = f(x_1) \dots f(x_n) \text{ mit } f(0) = 0 \text{ und } f(1) = 01$$

- Dann ist leicht zu sehen, dass y suffixfrei ist □

- Da die Kompressionsfunktion h bei der Berechnung von $\hat{h}(x)$ im Fall $t = 1$ für jedes Bit von $y(x)$ einmal aufgerufen wird, wird h genau $|y(x)| \leq 2(n + 1)$ -mal aufgerufen
- Im Fall $t > 1$ werden dagegen nur $r + 1 = \lceil \frac{n}{t-1} \rceil + 1$ Aufrufe benötigt

Die MD4-Hashfunktion

- Die MD4-Hashfunktion (*Message Digest*) wurde 1990 von Rivest vorgeschlagen
- Die Bitlänge von MD4 beträgt $l = 128$ Bit
- Bei einer Wortlänge von 32 Bit entspricht dies 4 Wörtern
- MD4 und die im Folgenden vorgestellten Hashfunktionen benutzen u.a. folgende Operationen auf Wörtern $X, Y \in \{0, 1\}^{32}$

Wort-Operationen	
$X \wedge Y$	bitweises „Und“ von X und Y
$X \vee Y$	bitweises „Oder“ von X und Y
$X \oplus Y$	bitweises „exklusives Oder“ von X und Y
$\neg X$	bitweises Komplement von X
$X + Y$	Ganzzahl-Addition modulo 2^{32}
$X \rightarrow s$	Rechtsshift um s Stellen
$X \leftarrow s$	zirkulärer Linksshift um s Stellen

Die MD4-Hashfunktion

- Die Ganzzahl-Addition wird bei MD4 und MD5 in **little endian** Architektur ausgeführt
- D.h. dass ein aus 4 Bytes, zusammengesetztes Wort $X = a_3a_2a_1a_0$, dessen Bytes $a_i \in 2^8$ die Zahlenwerte $(a_i)_2 \in [0, 255]$ haben, die Zahl $(a_0)_2 \cdot 2^{24} + (a_1)_2 \cdot 2^{16} + (a_2)_2 \cdot 2^8 + (a_3)_2$ repräsentiert
- Dagegen verwendet SHA-1 eine **big endian** Architektur
- D.h. dass $a_3a_2a_1a_0$ die Zahl $(a_3)_2 \cdot 2^{24} + (a_2)_2 \cdot 2^{16} + (a_1)_2 \cdot 2^8 + (a_0)_2$ repräsentiert
- Der MD4-Algorithmus benutzt die folgenden Funktionen f_j für $j = 0, \dots, 47$:

$$f_j(X, Y, Z) := \begin{cases} (X \wedge Y) \vee (\neg X \wedge Z), & j = 0, \dots, 15 \\ (X \wedge Y) \vee (X \wedge Z) \vee (Y \wedge Z), & j = 16, \dots, 31 \\ X \oplus Y \oplus Z, & j = 32, \dots, 47 \end{cases}$$

Die MD4-Hashfunktion

- Zudem benutzt er die folgenden Konstanten y_j, z_j, s_j für $j = 0, \dots, 47$:

	y_j (in Hexadezimaldarstellung)
$j = 0, \dots, 15$	0
$j = 16, \dots, 31$	5a827999
$j = 32, \dots, 47$	6ed9eba1

	z_j
$j = 0, \dots, 15$	0, 1, 2, 3, 4, 5, 6, 7, 8, 9, 10, 11, 12, 13, 14, 15
$j = 16, \dots, 31$	0, 4, 8, 12, 1, 5, 9, 13, 2, 6, 10, 14, 3, 7, 11, 15
$j = 32, \dots, 47$	0, 8, 4, 12, 2, 10, 6, 14, 1, 9, 5, 13, 3, 11, 7, 15

	s_j
$j = 0, \dots, 15$	3, 7, 11, 19, 3, 7, 11, 19, 3, 7, 11, 19, 3, 7, 11, 19
$j = 16, \dots, 31$	3, 5, 9, 13, 3, 5, 9, 13, 3, 5, 9, 13, 3, 5, 9, 13
$j = 32, \dots, 47$	3, 9, 11, 15, 3, 9, 11, 15, 3, 9, 11, 15, 3, 9, 11, 15

Die MD4-Hashfunktion

MD4(x)

```

1 input  $x \in \{0, 1\}^*$ ,  $|x| = n$ 
2  $y := x10^k \text{bin}_{64}(n)$ ,  $k \in \{0, 1, \dots, 511\}$  mit
    $n + 1 + k + 64 \equiv 0 \pmod{512}$ 
3  $(H_1, H_2, H_3, H_4) := (67452301, \text{efcdab89}, 98\text{badcfe}, 10325476)$ 
4 sei  $y = M_1 \cdots M_r$ ,  $r = (n + 1 + k + 64)/512$ 
5 for  $i := 1$  to  $r$  do
6   sei  $M_i = X[0] \cdots X[15]$ 
7    $(A, B, C, D) := (H_1, H_2, H_3, H_4)$ 
8   for  $j := 0$  to  $47$  do
9      $(A, B, C, D) := (D, (A + f_j(B, C, D) + X[z_j] + y_j) \leftarrow s_j, B, C)$ 
10     $(H_1, H_2, H_3, H_4) := (H_1 + A, H_2 + B, H_3 + C, H_4 + D)$ 
11 output  $H_1 H_2 H_3 H_4$ 

```

- In Zeile 9 wird die **Kompressionsfunktion** von MD4 berechnet:

$$(A, B, C, D, X[z_j]) \mapsto (D, (A + f_j(B, C, D) + X[z_j] + y_j) \leftarrow s_j, B, C)$$

- In 1995 fand Dobbertin ein Kollisionspaar für die MD4 Hashfunktion mittels eines Angriffs, der sich in wenigen Sekunden ausführen lässt (2^{20} MD4-Berechnungen)
- Auf der Rump Session der Crypto 2004 berichtete Xiaoyun Wang, dass sich Kollisionen für MD4 mittels "hand calculation" (2^8 MD4-Berechnungen) finden lassen; veröffentlicht auf der EUROCRYPT 2005
- Im Jahr 2006 wurde ein Kollisionsangriff veröffentlicht, dessen Zeitaufwand weniger als 2 MD4-Berechnungen entspricht
- In 2008 veröffentlichte Gaëtan Leurent einen Angriff zur Berechnung eines Urbilds mit 2^{102} MD4-Berechnungen
- Dies wurde 2010 von Guo et. al. auf $2^{78,4}$ zur Urbildberechnung und $2^{69,4}$ MD4-Berechnungen zur Berechnung eines 2. Urbilds verbessert
- In 2011 wurde der MD4 als obsolet erklärt (RFC 6150)

Die MD5-Hashfunktion

- Der MD5 ist eine 1991 von Rivest präsentierte verbesserte Version von MD4
- Die Bitlänge von MD5 beträgt wie bei MD4 $l = 128$ Bit
- Bei einer Wortlänge von 32 Bit entspricht dies 4 Wörtern
- In MD5 werden teilweise andere Konstanten als in MD4 verwendet
- Zudem besitzt MD5 eine zusätzliche 4. Runde ($j = 48, \dots, 63$), in der die Funktion $f_j(X, Y, Z) = Y \oplus (X \vee \neg Z)$ verwendet wird
- Außerdem wurde die in Runde 2 von MD4 verwendete Funktion durch $f_j(X, Y, Z) := (X \wedge Z) \vee (Y \wedge \neg Z)$, $j = 16 \dots 31$, ersetzt
- Die Konstanten y_j , $0 \leq j \leq 63$, sind definiert als
$$y_j := \text{die ersten 32 Bit der Binärdarstellung von } \text{abs}(\sin(j + 1))$$

Die MD5-Hashfunktion

- Zudem benutzt der MD5 die folgenden Konstanten z_j und s_j :

j	z_j
$0, \dots, 15$	$z_j = j$ 0, 1, 2, 3, 4, 5, 6, 7, 8, 9, 10, 11, 12, 13, 14, 15
$16, \dots, 31$	$z_j = (5j + 1) \bmod 16$ 1, 6, 11, 0, 5, 10, 15, 4, 9, 14, 3, 8, 13, 2, 7, 12
$32, \dots, 47$	$z_j = (3j + 5) \bmod 16$ 5, 8, 11, 14, 1, 4, 7, 10, 13, 0, 3, 6, 9, 12, 15, 2
$48, \dots, 63$	$z_j = 7j \bmod 16$ 0, 7, 14, 5, 12, 3, 10, 1, 8, 15, 6, 13, 4, 11, 2, 9
j	s_j
$0, \dots, 15$	7, 12, 17, 22, 7, 12, 17, 22, 7, 12, 17, 22, 7, 12, 17, 22
$16, \dots, 31$	5, 9, 14, 20, 5, 9, 14, 20, 5, 9, 14, 20, 5, 9, 14, 20
$32, \dots, 47$	4, 11, 16, 23, 4, 11, 16, 23, 4, 11, 16, 23, 4, 11, 16, 23
$48, \dots, 63$	6, 10, 15, 21, 6, 10, 15, 21, 6, 10, 15, 21, 6, 10, 15, 21

Die MD5-Hashfunktion

MD5(x)

```

1 input  $x \in \{0, 1\}^*$ ,  $|x| = n$ 
2  $y := x10^k \text{bin}_{64}(n)$ ,  $k \in \{0, 1, \dots, 511\}$  mit
    $n + 1 + k + 64 \equiv 0 \pmod{512}$ 
3  $(H_1, H_2, H_3, H_4) := (67452301, \text{efcdab89}, 98\text{badcfe}, 10325476)$ 
4 sei  $y = M_1 \cdots M_r$ ,  $r = (n + 1 + k + 64)/512$ 
5 for  $i := 1$  to  $r$  do
6   sei  $M_i = X[0] \cdots X[15]$ 
7    $(A, B, C, D) := (H_1, H_2, H_3, H_4)$ 
8   for  $j := 0$  to  $63$  do
9      $(A, B, C, D) := (D, B + (A + f_j(B, C, D) + X[z_j] + y_j) \leftarrow s_j, B, C)$ 
10     $(H_1, H_2, H_3, H_4) := (H_1 + A, H_2 + B, H_3 + C, H_4 + D)$ 
11 output  $H_1H_2H_3H_4$ 

```

- In 1993, fanden den Boer und Bosselaers “Pseudo-Kollisionen” für die MD5 Kompressionsfunktion: zwei verschiedene Initialisierungskonstanten überführen einen Text in den denselben Hashwert
- In 1996 fand Dobbertin eine Kollision für die MD5 Kompressionsfkt.
- Im August 2004 wurden schließlich Kollisionen für MD5 von Xiaoyun Wang, Dengguo Feng, Xuejia Lai und Hongbo Yu berechnet
- Der benötigte Aufwand wurde mit ca. 1 Stunde auf einem IBM p690 Cluster abgeschätzt
- Im März 2005 veröffentlichten Arjen Lenstra, Xiaoyun Wang und Benne de Weger zwei X.509 Zertifikate mit unterschiedlichen Public-keys, die auf denselben MD5-Hashwert führten
- Wenige Tage später beschrieb Vlastimil Klima eine Methode, innerhalb von Stunden Kollisionen für MD5 auf einem Notebook zu berechnen
- Mittels der so genannten Tunneling-Methode wurde die Rechenzeit vom gleichen Autor im März 2006 auf eine Minute verkürzt

Die SHA-1-Hashfunktion

- Der **Secure Hash Algorithm** (SHA-1) ist eine Weiterentwicklung des MD4 bzw. MD5 Algorithmus
- Er gilt in den USA als Standard und ist Bestandteil des von der US-Behörde NIST (National Institute of Standards and Technology) im August 1991 veröffentlichten DSS (Digital Signature Standard)
- Die Bitlänge von SHA-1 beträgt $l = 160$ Bit
- Bei einer Wortlänge von 32 Bit entspricht dies 5 Wörtern
- SHA-1 unterscheidet sich nur geringfügig von der SHA-0 Hashfunktion, in der eine Schwachstelle dazu führt, dass nach Berechnung von ca. 2^{61} Hashwerten ein Kollisionspaar gefunden werden kann (obwohl bei einem Geburtstagsangriff auf Grund der Hashwertlänge von 160 Bit ca. 2^{80} Berechnungen erforderlich sein müssten)
- Diese potentielle Schwäche von SHA-0 wurde im SHA-1 dadurch entfernt, dass SHA-1 in Zeile 8 einen zirkulären Shift um eine Bitstelle ausführt

- Der SHA-1-Algorithmus benutzt die folgenden Konstanten K_j für $j = 0, \dots, 79$:

	K_j (in Hexadezimaldarstellung)
$j = 0, \dots, 19$	5a827999
$j = 20, \dots, 39$	6ed9eba1
$j = 40, \dots, 59$	8f1bbcdc
$j = 60, \dots, 79$	ca62c1d6

und folgende Funktionen f_j für $j = 0, \dots, 79$:

$$f_j(X, Y, Z) := \begin{cases} (X \wedge Y) \vee (\neg X \wedge Z), & j = 0, \dots, 19 \\ X \oplus Y \oplus Z, & j = 20, \dots, 39 \\ (X \wedge Y) \vee (X \wedge Z) \vee (Y \wedge Z), & j = 40, \dots, 59 \\ X \oplus Y \oplus Z, & j = 60, \dots, 79 \end{cases}$$

Die SHA-1-Hashfunktion

SHA-1(x)

```

1 input  $x \in \{0, 1\}^*$ ,  $|x| = n$ 
2  $y := x10^k \text{bin}_{64}(n)$ ,  $k \in \{0, 1, \dots, 511\}$  mit
    $n + 1 + k + 64 \equiv 0 \pmod{512}$ 
3  $(H_0, \dots, H_4) := (67452301, \text{efcdab89}, 98\text{badcfe}, 10325476, \text{c3d2e1f0})$ 
4 sei  $y = M_1 \cdots M_r$ ,  $r = (n + 1 + k + 64)/512$ 
5 for  $i := 1$  to  $r$  do
6   sei  $M_i = X[0] \cdots X[15]$ 
7   for  $t := 16$  to  $79$  do
8      $X[t] := (X[t - 3] \oplus X[t - 8] \oplus X[t - 14] \oplus X[t - 16]) \leftarrow 1$ 
9      $(A, B, C, D, E) := (H_0, H_1, H_2, H_3, H_4)$ 
10    for  $j := 0$  to  $79$  do
11       $\text{temp} := (A \leftarrow 5) + f_j(B, C, D) + E + X[j] + K_j$ 
12       $(A, B, C, D, E) := (\text{temp}, A, B \leftarrow 30, C, D)$ 
13       $(H_0, \dots, H_4) := (H_0 + A, \dots, H_4 + E)$ 
14 output  $H_0 H_1 H_2 H_3 H_4$ 

```

Angriffe gegen SHA-0

- Auf der CRYPTO 98 stellten Chabaud und Joux einen Angriff gegen SHA-0 vor, der ein Kollisionspaar mit nur 2^{61} Hashwertberechnungen (anstelle von 2^{80} bei einem Geburtstagsangriff) aufspürt
- In 2004 fanden Biham und Chen Beinahe-Kollisionen für den SHA-0, deren Hashwerte sich nur an 18 von 160 Bitpositionen unterschieden
- Zudem legten sie volle Kollisionen für den auf 62 Runden reduzierten SHA-0 Algorithmus vor
- Schließlich wurde im August 2004 die Berechnung einer Kollision für den vollen 80-Runden SHA-0 Algorithmus von Joux, Carribault, Lemuet und Jalby bekannt gegeben
- Hierzu wurden 2^{51} Hashwerte mit ca. 80 000 Stunden CPU-Rechenzeit auf einem 2-Prozessor 256-Itanium Supercomputer berechnet
- Der Aufwand wurde im Februar 2005 von Xiaoyun Wang, Yiqun Lisa Yin und Hongbo Yu auf 2^{39} Hashwertberechnungen reduziert

- Im Jahr 2005 veröffentlichten Rijmen und Oswald einen Angriff, der mit weniger als 2^{80} Hashwertberechnungen ein Kollisionspaar für den auf 53 Runden reduzierten SHA-1 Algorithmus findet
- Im Jahr 2005 stellten Xiaoyun Wang, Yiqun Lisa Yin und Hongbo Yu einen Kollisionsangriff gegen SHA-1 vor, der mit 2^{69} Hashwertberechnungen (anstelle von 2^{80} bei einem Geburtstagsangriff) auskommt
- Kurze Zeit später präsentierten Xiaoyun Wang, Andrew Yao und Frances Yao auf der Konferenz CRYPTO 2005 einen Kollisionsangriff gegen SHA-1 mit 2^{63} Hashwertberechnungen
- Auf der CRYPTO 2006 wurde ein Angriff gegen SHA-1 präsentiert, bei dem bis zu 25 Prozent der Bits in der gefälschten Nachricht frei wählbar sind
- In 2008 wurde von Stephane Manuel ein Kollisionsangriff mit einem geschätzten Aufwand von 2^{51} bis 2^{57} Berechnungen veröffentlicht

- Im Februar 2017 fanden die Google-Mitarbeiter Stevens, Bursztein, Karpman, Albertini und Markov die erste Kollision für SHA-1
- Diese bestand aus zwei verschiedenen PDF-Dateien
- Der Aufwand war jedoch enorm: eine einzelne CPU hätte dafür etwa 6500 Jahre benötigt
- Als Reaktion auf diese Angriffe wurde SHA-1 in 2011 vom NIST als veraltet erklärt und in 2013 wurde seine Verwendung für digitale Signaturen verboten

Die SHA-2-Familie

- Im Jahr 2001 veröffentlichte die US-Behörde NIST drei weitere Hashfunktionen der SHA-Familie: SHA-256, SHA-384, and SHA-512
- Diese Funktionen werden auch als SHA-2 Hashfunktionen bezeichnet
- In 2004 kam noch SHA-224 als vierte Variante hinzu
- SHA-256 und SHA-512 haben denselben Aufbau, unterscheiden sich aber in erster Linie in der benutzten Wortlänge: 32 Bit bei SHA-256 und 64 Bit bei SHA-512
- Zudem werden unterschiedliche Shift- und Summationskonstanten verwendet und auch die Rundenzahlen differieren
- SHA-224 und SHA-384 sind reduzierte Varianten von SHA-256 und SHA-512

Die SHA-2-Familie

- Der SHA-256-Algorithmus benutzt die folgenden Konstanten K_j , $j = 0, \dots, 63$ (in Hexadezimaldarstellung):

428a2f98, 71374491, b5c0fbcf, e9b5dba5, 3956c25b, 59f111f1, 923f82a4, ab1c5ed5,
d807aa98, 12835b01, 243185be, 550c7dc3, 72be5d74, 80deb1fe, 9bdc06a7, c19bf174,
e49b69c1, efbe4786, 0fc19dc6, 240ca1cc, 2de92c6f, 4a7484aa, 5cb0a9dc, 76f988da,
983e5152, a831c66d, b00327c8, bf597fc7, c6e00bf3, d5a79147, 06ca6351, 14292967,
27b70a85, 2e1b2138, 4d2c6dfc, 53380d13, 650a7354, 766a0abb, 81c2c92e, 92722c85,
a2bfe8a1, a81a664b, c24b8b70, c76c51a3, d192e819, d6990624, f40e3585, 106aa070,
19a4c116, 1e376c08, 2748774c, 34b0bcb5, 391c0cb3, 4ed8aa4a, 5b9cca4f, 682e6ff3,
748f82ee, 78a5636f, 84c87814, 8cc70208, 90befffa, a4506ceb, bef9a3f7, c67178f2

- Dies sind jeweils die ersten 32 Bit der binären Nachkommastellen der dritten Wurzeln der ersten 64 Primzahlen $2, \dots, 311$

Die SHA-256-Hashfunktion

```

1 input  $x \in \{0, 1\}^*$ ,  $|x| = n$ 
2  $y := x10^k \text{bin}_{64}(n)$ ,  $k \in \{0, \dots, 511\}$  mit  $n+1+k+64 \equiv 0 \pmod{512}$ 
3  $(H_0, \dots, H_7) := (6a09e667, \dots, 5be0cd19)$ 
4 sei  $y = M_1 \cdots M_r$ ,  $r = (n+1+k+64)/512$ 
5 for  $i := 1$  to  $r$  do
6   sei  $M_i = X[0] \cdots X[15]$ 
7   for  $t := 16$  to  $63$  do
8      $s_0 := (X[t-15] \hookrightarrow 7) \oplus (X[t-15] \hookrightarrow 18) \oplus (X[t-15] \rightarrow 3)$ 
9      $s_1 := (X[t-2] \hookrightarrow 17) \oplus (X[t-2] \hookrightarrow 19) \oplus (X[t-2] \rightarrow 10)$ 
10     $X[t] := X[t-16] + s_0 + X[t-7] + s_1$ 
11     $(A, B, C, D, E, F, G, H) := (H_0, H_1, H_2, H_3, H_4, H_5, H_6, H_7)$ 
12    for  $j := 0$  to  $63$  do  $\alpha$ 
13     $(H_0, H_1, \dots, H_7) := (H_0 + A, H_1 + B, \dots, H_6 + G, H_7 + H)$ 
14 output  $H_0H_1H_2H_3H_4H_5H_6H_7$ 

```

Die Werte von H_0, \dots, H_7 in Zeile 3 sind die ersten 32 Bit der binären Nachkommastellen der Wurzeln der Primzahlen 2, 3, 5, 7, 11, 13, 17, 19

Programmstück α (SHA-256 Kompressionsfunktion)

```
1   $s0 := (A \ll 2) \oplus (A \ll 13) \oplus (A \ll 22)$   
2   $maj := (A \wedge B) \oplus (A \wedge C) \oplus (B \wedge C)$   
3   $t2 := s0 + maj$   
4   $s1 := (E \ll 6) \oplus (E \ll 11) \oplus (E \ll 25)$   
5   $ch := (E \wedge F) \oplus (\neg E \wedge G)$   
6   $t1 := H + s1 + ch + K_j + X[j]$   
7   $(A, B, C, D, E, F, G, H) := (t1 + t2, A, B, C, D + t1, E, F, G)$ 
```

- Die besten bekannten Angriffe gegen SHA-2 brechen die von 64 auf 41 Runden reduzierte Variante von SHA-256 und die von 80 auf 46 Runden reduzierte Variante von SHA-512

- Im Oktober 2012 wurde der Hash-Algorithmus Keccak als Gewinner des vom NIST ausgeschriebenen Wettbewerbs für den SHA3-Algorithmus ausgewählt und am 5. August 2015 als Alternative zu SHA-2 standardisiert
- Die Intention dabei war nicht, SHA-2 als Standard durch SHA-3 abzulösen, zumal bisher keine erfolgreichen Angriffe gegen SHA-2 bekannt sind
- Vielmehr ging es bei diesem Wettbewerb darum, angesichts der erfolgreichen Angriffe gegen MD5, SHA-0 und SHA-1, die einen ähnlichen Aufbau wie SHA-2 haben, eine auf einem vollkommen anderen Entwurfsprinzip basierende Alternative zur Verfügung zu stellen

Die Sponge-Konstruktion

- Die Konstruktionsidee hinter dem SHA3-Gewinner Keccak wird von den Autoren als *Sponge* (Schwamm) bezeichnet
- Auf der Basis dieser Entwurfsmethode lassen sich außer Hashfunktionen bspw. auch Pseudozufallsgeneratoren gewinnen
- Der Aufbau eines Sponges ähnelt oberflächlich betrachtet der bereits vorgestellten Konstruktion von iterierten Hashfunktionen, weist aber einige Unterschiede auf
- So basiert ein Sponge statt auf einer Kompressionsfunktion h auf einer Permutation (oder allgemeiner Transformation) $f : \{0, 1\}^b \rightarrow \{0, 1\}^b$, die wie h iteriert angewendet wird
- Mittels der Funktion f wird eine Folge von **Zuständen** $s_i \in \{0, 1\}^b$ generiert, deren Länge b als **Weite** des Sponges bezeichnet wird
- Die Zustände $s_i = z_i u_i$ werden in zwei Teilblöcke z_i und u_i der Länge r bzw. c zerlegt, die als **äußerer** bzw. **innerer Zustand** bezeichnet werden

- Wie der Name schon sagt, verbleiben die Bits des inneren Zustands im Sponge, d.h. sie dienen nur zur Berechnung des nächsten Zustands und werden im Gegensatz zu den Bits des äußeren Zustands nicht unmittelbar für die Gewinnung der Ausgabe genutzt
- Die Anzahl $c = |z_i|$ der Bits des inneren Zustands wird als **Kapazität** des Sponges bezeichnet und ist sein wichtigster Sicherheitsparameter
- Die Anzahl $r = |u_i|$ der Bits des äußeren Zustands heißt **Bitrate**
- Da $r + c = b$ gelten muss, lässt sich über die Wahl der Parameter r und c ein Trade-off zwischen der Effizienz und der Sicherheit des Sponges realisieren

Die Sponge-Konstruktion

- Die Funktion f bildet den Kern der Sponge-Konstruktion
- Bevor f iteriert angewendet wird, um die Zustandsfolge s_i zu generieren, findet ein Preprocessing statt
- Wir definieren nun mögliche Anforderungen an die Preprocessing-Funktion y

Definition

- Sei y eine Funktion der Form $y: \{0, 1\}^* \rightarrow \{0, 1\}^*$
- y heißt **Paddingfunktion**, falls für alle $x \in \{0, 1\}^*$ ein $z \in \{0, 1\}^*$ mit $y(x) = xz$ existiert
- Eine solche Funktion heißt **Paddingfunktion für eine Bitrate $r \geq 1$** , falls $|y(x)| \equiv_r 0$ für alle $x \in \{0, 1\}^*$ gilt
- y heißt **sponge-konform für eine Bitrate $r \geq 1$** , falls gilt:
 - $\forall i = 0, \dots, r - 1 \exists z \in \{0, 1\}^* \forall x \in \{0, 1\}^*$ mit $|x| \equiv_r i : y(x) = xz$
 - $\forall k \geq 0 \forall x \neq x' : y(x) \neq y(x')0^{kr}$

Beispiel

- Es ist leicht zu sehen, dass die Funktion

$$\text{pad}_{10^*1_r}(x) = x10^d1 \text{ mit } d = \min\{i \geq 0 \mid i + 2 + |x| \equiv_r 0\}$$

eine sponge-konforme Paddingfunktion für die Bitrate r ist

- Ohne die 1 am Ende von $\text{pad}_{10^*1_r}(x) = x10^d1$ wäre dies nicht der Fall

Die Sponge-Konstruktion

Definition

- Sei y eine Paddingfunktion für $r \geq 1$ und sei $f : \{0, 1\}^b \rightarrow \{0, 1\}^b$
- Für $x \in \{0, 1\}^*$ sei $y(x) = y_1 \dots y_k$ mit $|y_i| = r$ für $i = 1, \dots, k$
- Sei $s_0 = 0^b$ und für $i \geq 1$ sei $s_i = z_i u_i$ mit $z_i \in \{0, 1\}^r$, $u_i \in \{0, 1\}^c$ und

$$s_i = \begin{cases} f(s_{i-1} \oplus y_i 0^c) & 1 \leq i \leq k & \text{(Absorptionsphase)} \\ f(s_{i-1}) & i > k & \text{(Squeezing-Phase)} \end{cases}$$

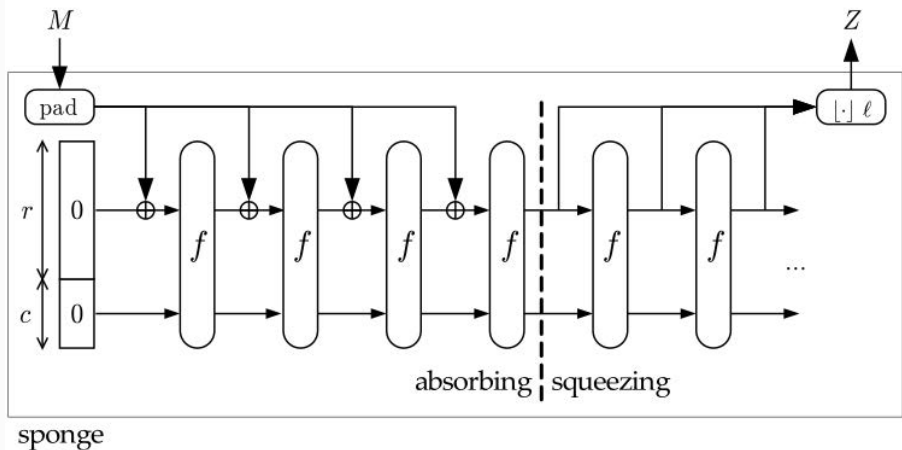
- Dann ist $Sponge_{f,y,r} : \mathbb{N} \times \{0, 1\}^* \rightarrow \{0, 1\}^*$ die Funktion mit

$$Sponge_{f,y,r}(l, x) = z_k \dots z_{k+m-1} z'_{k+m}$$

wobei $m = \lfloor \frac{l}{r} \rfloor$ und z'_{k+m} das Präfix von z_{k+m} der Länge $l - mr$ ist

- Für die Analyse definieren wir noch die beiden Funktionen

$$Absorb_{f,r}(y_1 \dots y_k) = s_k \text{ und } Squeeze_{f,r}(l, s_k) = z_k \dots z_{k+m-1} z'_{k+m}$$



Die Sponge-Konstruktion

- Den Aufwand, ein Paar $x \neq x'$ mit $Sponge_{f,y,r}(l, x) = Sponge_{f,y,r}(l, x')$ zu finden, können wir nach oben durch den Aufwand abschätzen, ein Paar $y \neq y'$ in $\bigcup_{k \geq 1} \{0, 1\}^{kr}$ mit $y = y_1 \dots y_k$, $y' = y'_1 \dots y'_{k'}$ und $Absorb_{f,r}(y) = Absorb_{f,r}(y')$ zu finden
- Hierbei reicht es, dass die inneren Zustände u_k und $u'_{k'}$ von $s_k = z_k u_k = Absorb_{f,r}(y)$ und $s'_{k'} = z'_{k'} u'_{k'} = Absorb_{f,r}(y')$ gleich sind, d.h. $y \neq y'$ ist ein **inneres Kollisionspaar** für die Funktion $Absorb_{f,r}$
- Setzen wir nämlich y_{k+1} und $y'_{k'+1}$ auf die äußeren Zustände z_k von s_k und $z'_{k'}$ von $s'_{k'}$, so folgt für die Texte $x = yy_{k+1}$ und $x' = y'y'_{k'+1}$:

$$\begin{aligned} Absorb_{f,r}(x) &= f(s_k \oplus (y_{k+1} 0^c)) = f(0^r u_k) = f(0^r u'_{k'}) \\ &= f(s'_{k'} \oplus (y'_{k'+1} 0^c)) = Absorb_{f,r}(x') \end{aligned}$$

- Falls das Suffix z von $y(x) = xz$ nur von $|x| \bmod r$ abhängt, gilt wegen $|x| \equiv_r |x'| \equiv_r 0$ dann auch $y(x') = x'z$ und somit folgt

$$Absorb_{f,r}(y(x)) = Absorb_{f,r}(xz) = Absorb_{f,r}(x'z) = Absorb_{f,r}(y(x'))$$

was $Sponge_{f,y,r}(l, x) = Sponge_{f,y,r}(l, x')$ für alle $l \geq 1$ impliziert

Die Sponge-Konstruktion

- Um eine innere Kollision $y \neq y'$ zu finden, hilft es, sich die 2^c inneren Zustände $u \in \{0, 1\}^c$ als Knoten eines gerichteten Multigraphen G vorzustellen, der für jedes Paar $(s, s') = (zu, z'u')$ mit $f(s) = f(zu) = z'u' = s'$ eine Kante $u \xrightarrow{z, z'} u'$ von u nach u' mit dem Label z, z' enthält
- Ziel ist es dann, zwei verschiedene Pfade von 0^c zu demselben Knoten u zu finden, wobei zwei Pfade auch dann verschieden sind, wenn sich die Kanten nur in den Labeln unterscheiden
- Wird f durch eine Zufallsfunktion modelliert (ZOM), so lassen bereits berechnete Werte von f keine Rückschlüsse auf die Werte für andere Argumente zu
- Anders als beim ZOM für eine Hashfunktion kann es sich dennoch für den Angreifer lohnen, die Argumente von f adaptiv nach einer Strategie \mathcal{S} zu wählen
- Der Algorithmus **InnerCollision** fasst dieses Vorgehen zusammen
- Der Parameter q beschränkt hierbei die Anzahl der Aufrufe der Transformation f

Prozedur InnerCollision(f, r, q, \mathcal{S}) mit $f : \{0, 1\}^b \rightarrow \{0, 1\}^b$

- 1 $c := b - r$
- 2 initialisiere den Multi-Digraphen $G = (V, E) := (\{0, 1\}^c, \emptyset)$
- 3 **for** $i := 1$ **to** q **do**
- 4 wähle $u \in V$ und $v \in \{0, 1\}^r$ nach Strategie \mathcal{S}
- 5 $E := E \cup \{u \xrightarrow{v, \tilde{v}} \tilde{u}\}$, wobei $f(vu) = \tilde{v}\tilde{u}$ ist
- 6 **if** \exists 2 Pfade $0^c \xrightarrow{v_1, \tilde{v}_1} u_1 \xrightarrow{v_2, \tilde{v}_2} u_2 \xrightarrow{v_3, \tilde{v}_3} \dots \xrightarrow{v_k, \tilde{v}_k} u_k$ und
- 7 $0^c \xrightarrow{v'_1, \tilde{v}'_1} u'_1 \xrightarrow{v'_2, \tilde{v}'_2} u'_2 \xrightarrow{v'_3, \tilde{v}'_3} \dots \xrightarrow{v'_{k'}, \tilde{v}'_{k'}} u'_{k'}$ mit $u_k = u'_{k'}$ **then**
- 8 $y := y_1 \dots y_k$ mit $y_1 = v_1$ und $y_i = \tilde{v}_{i-1} \oplus v_i$ für $i = 2, \dots, k$
- 9 $y' := y'_1 \dots y'_{k'}$ mit $y'_1 = v'_1$ und $y'_i = \tilde{v}'_{i-1} \oplus v'_i$ für $i = 2, \dots, k'$
- 10 **return**(y, y')
- 11 **else**
- 12 **return**(?)

Satz

- Für jede Strategie \mathcal{S} gibt $\text{INNERCOLLISION}(f, r, q, \mathcal{S})$ im ZOM mit Erfolgswahrscheinlichkeit höchstens

$$\varepsilon = 1 - \prod_{i=1}^q \left(1 - \frac{i}{2^c}\right)$$

ein inneres Kollisionspaar (y, y') für die Funktion $\text{Absorb}_{f,r}$ aus

- Wählt \mathcal{S} nur von 0^c aus erreichbare Knoten u und kein Argument vu mehrmals, so ist die Erfolgswahrscheinlichkeit exakt ε

Die Sponge-Konstruktion

Beweis.

- Wir zeigen zuerst, dass $y \neq y'$ gilt, falls die beiden Pfade

$$P : 0^c = u_0 \xrightarrow{v_1, \tilde{v}_1} u_1 \xrightarrow{v_2, \tilde{v}_2} u_2 \xrightarrow{v_3, \tilde{v}_3} u_3 \cdots \xrightarrow{v_k, \tilde{v}_k} u_k \text{ und}$$

$$P' : 0^c = u'_0 \xrightarrow{v'_1, \tilde{v}'_1} u'_1 \xrightarrow{v'_2, \tilde{v}'_2} u'_2 \xrightarrow{v'_3, \tilde{v}'_3} u'_3 \cdots \xrightarrow{v'_{k'}, \tilde{v}'_{k'}} u'_{k'}$$

von 0^c nach $u_k = u'_{k'}$ verschieden sind, wobei wir $k \leq k'$ annehmen

- Da f eine Funktion ist, gilt für $i = 1, \dots, k$:

$$u_{i-1}v_i = u'_{i-1}v'_i \Rightarrow \tilde{v}_i u_i = f(v_i u_i) = f(v'_i u'_i) = \tilde{v}'_i u'_i$$

- Da P und P' verschieden sind, muss also ein $i \in \{0, \dots, k\}$ ex. mit

$$u_0 v_0 \tilde{v}_0 \dots u_i = u'_0 v'_0 \tilde{v}'_0 \dots u'_i \text{ und } (v_i \neq v'_i \vee i = k < k')$$

- Somit folgt $y_i = \tilde{v}_{i-1} \oplus v_i \neq \tilde{v}'_{i-1} \oplus v'_i = y'_i$ oder $i = k < k'$
- In beiden Fällen folgt $y = y_1 \dots y_k \neq y'_1 \dots y'_{k'} = y'$

Die Sponge-Konstruktion

Beweis.

- Sei E_i das Ereignis "G enthält nach dem i -ten Durchlauf der for-Schleife zwei verschiedene Pfade von 0^c zu einem Knoten u "
- Da nur durch eine Kante zwischen zwei von 0^c aus erreichbaren Knoten ein zweiter Pfad von 0^c aus geschlossen werden kann und nach $i - 1$ Durchläufen höchstens i von 2^c Knoten erreichbar sind, gilt

$$\Pr[E_i | \bar{E}_1 \cap \dots \cap \bar{E}_{i-1}] \leq \frac{i}{2^c}$$

- Wählt \mathcal{S} nur erreichbare Knoten u und kein Argument vu mehrfach, so impliziert das Ereignis $\bar{E}_1 \cap \dots \cap \bar{E}_{i-1}$, dass nach dem i -ten Durchlauf **genau** i Knoten erreichbar sind (sonst gäbe es bereits zwei Pfade von 0^c zu einem Knoten in G) und es gilt sogar Gleichheit
- Daher ist die Erfolgswahrscheinlichkeit von $\text{INNERCOLLISION}(f, r, q, \mathcal{S})$

$$1 - \Pr[\bar{E}_1 \cap \dots \cap \bar{E}_q] = 1 - \Pr[\bar{E}_1] \Pr[\bar{E}_2 | \bar{E}_1] \cdots \Pr[\bar{E}_q | \bar{E}_1 \cap \dots \cap \bar{E}_{q-1}]$$

$$\leq 1 - \left(1 - \frac{1}{2^c}\right) \left(1 - \frac{2}{2^c}\right) \cdots \left(1 - \frac{q}{2^c}\right) = \varepsilon$$



Die Sponge-Konstruktion

- Mit der Approximation $1 - x \approx e^{-x}$ erhalten wir die Abschätzung

$$\begin{aligned} \varepsilon &= 1 - \prod_{i=1}^q \left(1 - \frac{i}{2^c}\right) \approx 1 - \prod_{i=1}^q e^{-\frac{i}{2^c}} = 1 - e^{-\frac{1}{2^c} \sum_{i=1}^q i} \\ &= 1 - e^{-\frac{q(q+1)}{2 \cdot 2^c}} \approx 1 - e^{-\frac{q^2}{2 \cdot 2^c}} \approx q^2 / 2 \cdot 2^c \end{aligned}$$

- Für q ergibt sich daraus die Abschätzung

$$q \approx c_\varepsilon \sqrt{2^c}$$

mit einer von ε abhängigen Konstanten $c_\varepsilon = \sqrt{2\varepsilon}$

- Da im Fall $l < c$ ein Geburtstagsangriff gegen die Funktion $x \mapsto \text{Sponge}_{f,y,r}(l, x)$ effizienter ist, erhalten wir die obere Schranke $\min(2^{c/2}, 2^{l/2})$ für den Aufwand eines mit Wahrscheinlichkeit $1/2$ erfolgreichen Angriffs gegen die Funktion $\text{Sponge}_{f,y,r}$ im ZOM

- Um geeignete Kandidaten für SHA-3 zu finden, veranstaltete das NIST ähnlich wie beim AES von Nov. 2007 bis Okt. 2012 einen Wettbewerb
- Die Minimalanforderungen an die Hashfunktionen waren, dass sie Nachrichten bis zu einer Obergrenze von mindestens $2^{64} - 1$ Bit hashen und mindestens die Hash-Längen 224, 256, 384 und 512 Bit unterstützen
- Von den eingereichten 64 Hashfunktionen erfüllten 51 die Teilnahmebedingungen und wurden für Runde 1 akzeptiert
- In Runde 1 wurde die Sicherheit und Performanz dieser 51 Kandidaten von Kryptologen aus aller Welt in einem offenen Bewertungsprozess analysiert und 14 der 51 Kandidaten erreichten Runde 2
- Nach jeder Runde konnten Veränderungen an den Algorithmen vorgenommen werden, um auf die Ergebnisse der Analysen zu reagieren
- Im Fall von Keccak wurde die Rundenzahl der Permutationsfunktion von 18 auf 24 erhöht, um eine größere Sicherheitsreserve zu erreichen
- Zudem wurde die Bitrate bei einigen Varianten vergrößert, um die Effizienz zu verbessern

- Im Dezember 2010 wurden die fünf Finalisten BLAKE, Grøstl, JH, Keccak und Skein bekanntgegeben
- Der Gewinner Keccak wies eine deutlich bessere Hardware-Performanz als seine Konkurrenten auf
- Dagegen hatten BLAKE und Skein die beste Software-Performanz und waren in den meisten Fällen schneller als SHA-2
- Keccak erlaubt für die Sponge-Weite die Wahl folgender 7 Werte $b_w \in \{25 \cdot 2^w \mid w = 0, \dots, 6\} = \{25, 50, 100, 200, 400, 800, 1600\}$
- Entsprechend stehen 7 Permutationen $f_w : \{0, 1\}^{b_w} \mapsto \{0, 1\}^{b_w}$, $w = 0, \dots, 6$ zur Verfügung
- Im SHA3-Standard ist $w = 6$, also $b = b_6 = 1600$ und SHA-3 stellt für $l = 224, 256, 384, 512$ jeweils eine Hashfunktion SHA3- l mit der festen Hash-Länge l und der Kapazität $c = 2l$ zur Verfügung
- Zudem enthält SHA-3 die Hashfunktionen SHAKE128 und SHAKE256 mit flexibler Hash-Länge und den Kapazitäten $c = 256$ bzw. $c = 512$

- Die SHA3-Familie besteht aus folgenden Hashfunktionen, die sich in der Kombination von Bitrate r und Ausgabelänge l unterscheiden:

Name	Hashlänge l	Rate r	Kap. c	Padding
SHA3-224	224	1152	448	0110*1
SHA3-256	256	1088	512	- "-
SHA3-384	384	832	768	- "-
SHA3-512	512	576	1024	- "-
SHAKE128	variabel	1344	256	111110*1
SHAKE256	- "-	1088	512	- "-

- Für die Hash-Längen $l \in \{224, 256, 384, 512\}$ gilt also

$$\text{SHA3-}l(x) = \text{Sponge}_{f_6, \text{pad}10^*1, r}(l, x01) \text{ mit } c = 2l \text{ und } r = 1600 - 2l$$

- Das zusätzliche Padding 01 soll dabei SHA3- l von anderen Anwendungen von Keccak mit denselben Werten b, l, r unterscheiden

- Wir betrachten nun die Funktion $f = f_w$ für $w = 6$ im Detail
- Die Funktion $f : \{0, 1\}^{5 \times 5 \times 64} \rightarrow \{0, 1\}^{5 \times 5 \times 64}$ bildet einen $(5 \times 5 \times 64)$ -Block X auf einen ebensolchen Block $X' = f(X)$ ab
- Hierzu wird $12 + 2w = 24$ -mal eine Rundenfunktion

$$f^r : \{0, 1\}^{5 \times 5 \times 64} \rightarrow \{0, 1\}^{5 \times 5 \times 64}, \quad r = 0, \dots, 23$$

aufgerufen, die unter Verwendung einer Rundenkonstanten RC_r den Block $X_{r+1} = f^r(X_r)$ für $r = 0, \dots, 23$ berechnet, wobei $X_0 = X$ und $X' = X_{24}$ ist

- Es gilt

$$f^r(X_r) = \iota_r(\chi(\pi(\rho(\theta(X_r))))),$$

wobei θ , ρ , π , χ und ι_r Permutationen auf der Menge $\{0, 1\}^{5 \times 5 \times 64}$ sind

- Zur Beschreibung der Permutationen θ , ρ , π , χ und ι_r bezeichnen wir die einzelnen Bits eines Blocks $Z \in \{0, 1\}^{5 \times 5 \times 64}$ mit $Z[x, y, z]$ für $x, y = 0, \dots, 4$ und $z = 0, \dots, 63$
- Die Funktion θ ist so gewählt, dass sich $\theta^{-1}(Z)$ an möglichst vielen Bits ändert, falls eines in Z geflippt wird
- Hierzu führt θ auf den **Wörtern** $Z[x, y] = Z[x, y, 0] \dots Z[x, y, 63]$ des Zustandsvektors Z folgende Operationen aus:
 - $S(x) := Z[x, 0] \oplus \dots \oplus Z[x, 4]$
 - $R(x) := S(x) \leftrightarrow 1$
 - $Z[x, y] := Z[x, y] \oplus S(x - 1) \oplus R(x + 1)$,
 wobei die Indexoperationen modulo 5 erfolgen
- Die Transposition ρ rotiert die Wörter von Z wie folgt:
 - $Z[x, y] := Z[x, y] \leftrightarrow w_{x,y} \text{ mod } 64$,
 wobei $w_{0,0} = 0$ und $w_{x,y} = (t + 1)(t + 2)/2$ für $(x, y) = (0, 1) \begin{pmatrix} 3 & 1 \\ 2 & 0 \end{pmatrix}^t$ und $t = 0, \dots, 23$ gilt

- Die Transposition π permutiert die Wörter von Z wie folgt:
 - $Z[3x + 2y, x] := Z[x, y]$
- Die Funktion χ ist die einzige nichtlineare Funktion und operiert innerhalb der 5-Bit-Spalten $Z[x, z]$ des Zustandsvektors, wobei jedes Bit nur von 2 anderen in dieser Spalte abhängt:
 - $Z[x, y] := Z[x, y] \oplus (\neg Z[x, y + 1] \wedge Z[x, y + 2])$
- Schlussendlich setzt ι_r das Wort $Z[0, 0]$ auf das Wort
 - $Z[0, 0] := Z[0, 0] \oplus RC_r,$

wobei das Bit an Position $2^m - 1$ in RC_r für $m = 0, \dots, 6$ das Bit an Position $7r + m$ eines LFSR mit dem erzeugenden Polynom $x^8 + x^6 + x^5 + x^4 + 1$ ist und alle übrigen Bits in RC_r Null sind

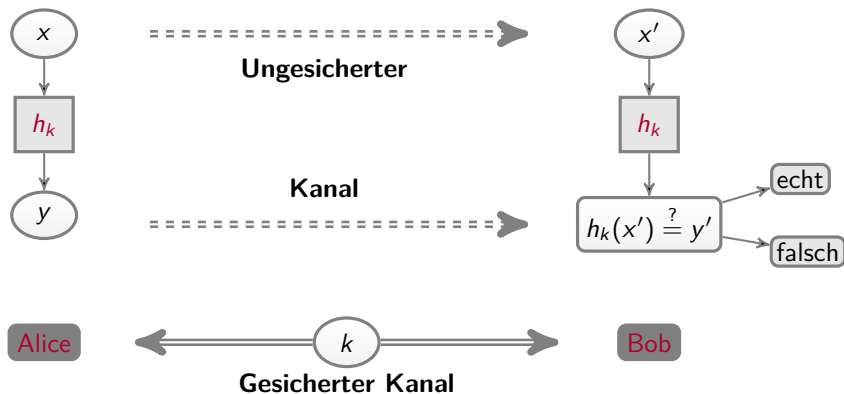
Nachrichten-Authentikationscodes (MACs)

Definition

Eine **Hashfamilie** $\mathcal{H} = (X, Y, K, H)$ wird durch folgende Komponenten beschrieben:

- X , eine endliche oder unendliche Menge von Texten
- Y , endliche Menge aller möglichen **Hashwerte**, $|Y| \leq |X|$
- K , endlicher **Schlüsselraum** (**key space**), wobei jeder Schlüssel $k \in K$ eine Hashfunktion $h_k: X \rightarrow Y$ in H spezifiziert, d.h. $H = \{h_k \mid k \in K\}$

- Im folgenden werden wir die Größe $|X|$ des Textraumes mit n , die des Hashwertbereiches Y mit m und die des Schlüsselraumes K mit l bezeichnen
- Wir nennen dann \mathcal{H} auch eine **(n, m, l) -Hashfamilie** oder einen **(n, m, l) -MAC**



- Hierbei ist k der symmetrische Authentifikationsschlüssel und $y = h_k(x)$ der **MAC**-Wert für x unter k
- Indem Alice ihre Nachricht x um den Hashwert $y = h_k(x)$ ergänzt, hat Bob nicht nur die Möglichkeit, anhand von y die empfangene Nachricht x' auf Manipulationen, sondern auch ihre Herkunft zu überprüfen

Damit ein geheimer Schlüssel k für die Authentifizierung mehrerer Nachrichten benutzt werden kann, ohne dass dies einem potentiellen Angreifer zur nichtautorisierten Berechnung von gültigen MAC-Werten verhilft, sollte folgende Bedingung erfüllt sein

Berechnungsresistenz: Auch wenn eine Reihe von unter einem Schlüssel k generierten Text-Hashwert-Paaren $(x_1, h_k(x_1)), \dots, (x_n, h_k(x_n))$ bekannt ist, erfordert es einen immensen Aufwand, ohne Kenntnis von k ein weiteres Paar (x, y) mit $y = h_k(x)$ zu finden

Sicherheitseigenschaften von MACs

- Bei Verwendung eines berechnungsresistenten MACs ist es einem Angreifer nicht möglich, an Bob eine Nachricht x zu schicken, die Bob als von Alice stammend anerkennt
- Zu beachten ist allerdings, dass die Berechnungsresistenz nichts für den Fall aussagt, dass der Schlüssel k bekannt ist
- So kann nicht davon ausgegangen werden, dass die Funktion $h_k(x)$ bei bekanntem k die Einweg-Eigenschaft besitzt oder schwach (beziehungsweise stark) kollisionsresistent ist
- Es ist jedoch leicht zu sehen, dass es die Berechnungsresistenz erfordert, dass $h_k(x)$ bei geheimgehaltenem k zumindest schwach kollisionsresistent ist
- Dies ist etwa der Fall, wenn k im Speicher eines ausforschungssicheren Chips abgelegt wird

- Mithilfe eines berechnungsresistenten MACs kann der Integritätsschutz für mehrere Datensätze auf die Geheimhaltung eines Schlüssels k zurückgeführt werden
- Um die Datensätze x_1, \dots, x_n gegen unbefugt vorgenommene Veränderungen zu schützen, legt man sie zusammen mit ihren MAC-Werten $y_1 = h_k(x_1), \dots, y_n = h_k(x_n)$ auf einem unsicheren Speichermedium ab und bewahrt den geheimen Schlüssel k an einem sicheren Ort auf
- Bei einem späteren Zugriff auf einen Datensatz x_i lässt sich dessen Unversehrtheit durch einen Vergleich von y_i mit dem Ergebnis $h_k(x_i)$ einer erneuten MAC-Berechnung überprüfen
- Da auf diese Weise ein wirksamer Schutz der Datensätze gegen Viren und andere Manipulationen erreicht wird, spricht man von einer **Versiegelung** der gespeicherten Datensätze

- Ein Angriff gegen einen MAC hat die unbefugte Berechnung von MAC-Werten zum Ziel
- Das heißt, der Angreifer versucht, MAC-Werte $h_k(x)$ ohne Kenntnis des geheimen Schlüssels k zu berechnen
- Entsprechend der Art des zur Verfügung stehenden Textmaterials lassen sich die Angriffe gegen einen MAC wie folgt klassifizieren

Impersonation:

Der Angreifer kennt nur den benutzten MAC und versucht ein Paar (x, y) mit $h_k(x) = y$ zu generieren, wobei k der (dem Angreifer unbekannte) Schlüssel ist

Substitution:

Der Angreifer versucht in Kenntnis eines Paares $(x, h_k(x))$ ein Paar (x', y') mit $x' \neq x$ und $h_k(x') = y'$ zu generieren

Angriffe gegen symmetrische Hashfunktionen

Angriff bei bekanntem Text (known-text attack):

Der Angreifer kennt für eine Reihe von Texten x_1, \dots, x_r (die er nicht selbst wählen konnte) die zugehörigen MAC-Werte $h_k(x_1), \dots, h_k(x_r)$ und versucht, ein Paar (x', y') mit $h_k(x') = y'$ und $x' \notin \{x_1, \dots, x_r\}$ zu generieren

Angriff bei frei wählbarem Text (chosen-text attack):

Der Angreifer kann die Texte x_i selbst wählen

Angriff bei adaptiv wählbarem Text (adaptive chosen-text attack):

Der Angreifer kann die Wahl des Textes x_i von den zuvor erhaltenen MAC-Werten $h_k(x_j), j < i$, abhängig machen

Auch wenn die Anwender den Schlüssel nach jeder MAC-Berechnung wechseln, sollte \mathcal{H} zumindest einem **Substitutionsangriff** widerstehen, da der Gegner sonst ein Paar (x, y) abfangen und durch ein anderes ersetzen könnte

Modell: Schlüssel k und Nachrichten x werden unabhängig gemäß einer Wahrscheinlichkeitsverteilung $p(k, x) = p(k)p(x)$ generiert, welche dem Angreifer bekannt ist

- Dabei nehmen wir an, dass $p(x) > 0$ und $p(k) > 0$ für alle $x \in X$ und $k \in K$ gilt
- Sei α die Wahrscheinlichkeit, mit der einem Gegner mit optimaler Strategie ein Impersonationsangriff gelingt
- Zudem sei β die Wahrscheinlichkeit, mit der einem Gegner mit optimaler Strategie ein Substitutionsangriff gelingt

Erfolgswahrscheinlichkeit für Impersonation

- Für ein Paar $(x, y) \in X \times Y$ sei $\alpha(x, y)$ die Wahrscheinlichkeit, dass dem Gegner mit der Wahl des Paares (x, y) eine Impersonation gelingt
- Dann ist $\alpha(x, y) = p(y|x) = p(x \mapsto y)$ die Wahrscheinlichkeit, dass der zufällig gewählte Schlüssel den Text x auf den MAC-Wert y abbildet:

$$\alpha(x, y) = \sum_{k \in K(x, y)} p(k)$$

wobei $K(x, y) = \{k \in K \mid h_k(x) = y\}$ alle Schlüssel enthält, die x auf y abbilden

- Folglich ist $\alpha(x) = \max\{\alpha(x, y) \mid y \in Y\}$ die maximale Wahrscheinlichkeit, mit der eine Impersonation gelingt, falls der Text x gewählt wird
- Also ist $\alpha = \max\{\alpha(x) \mid x \in X\}$

Beispiel

- Sei $K = \{1, 2, 3\}$, $X = \{a, b, c, d\}$ und $Y = \{0, 1\}$
- Wir beschreiben H durch die zugehörige **Authentikationsmatrix**
- Die Zeilen und Spalten dieser Matrix werden mit den Schlüsseln $k \in K$ und den Texten $x \in X$ indiziert und ihr Eintrag in Zeile k und Spalte x ist der Wert $h_k(x)$:

		0,1	0,2	0,3	0,4
		<i>a</i>	<i>b</i>	<i>c</i>	<i>d</i>
0,25	1	0	0	0	1
0,30	2	1	1	0	1
0,45	3	0	1	1	0

- Die umrahmten Zahlen geben die Wahrscheinlichkeiten $p(x)$ bzw. $p(k)$ an

Beispiel (Fortsetzung)

		0,1	0,2	0,3	0,4
		<i>a</i>	<i>b</i>	<i>c</i>	<i>d</i>
0,25	1	0	0	0	1
0,30	2	1	1	0	1
0,45	3	0	1	1	0

- Dann hat der Angreifer folgende Erfolgsaussichten $\alpha(x)$, falls er an *Bob* den Text x senden möchte:

x	<i>a</i>	<i>b</i>	<i>c</i>	<i>d</i>
$p(x \mapsto 0)$	0,7	0,25	0,55	0,45
$p(x \mapsto 1)$	0,3	0,75	0,45	0,55
$\alpha(x)$	0,7	0,75	0,55	0,55

- Folglich ist $\alpha = 0,75$

Satz

Für alle $x \in X$ ist $\alpha(x) \geq \frac{1}{m}$ und daher gilt $\alpha \geq \frac{1}{m}$

Beweis.

- Für beliebiges $x \in X$ gilt

$$\sum_{y \in Y} p(x \mapsto y) = \sum_{y \in Y} \sum_{k \in K(x,y)} p(k) = \sum_{k \in K} p(k) = 1$$

- Somit existiert für jedes $x \in X$ ein $y \in Y$ mit $p(x \mapsto y) \geq \frac{1}{m}$ und dies impliziert

$$\alpha(x) = \max_{y \in Y} p(x \mapsto y) \geq \frac{1}{m}$$

